

سنکرون سازی آشوب بر اساس معادلات دیفرانسیل و قضیه تقریب عمومی و کاربرد آن در مخابرات امن و رمزنگاری

محمد حسن مجیدی^{۱*} و سعید خراشادی زاده^۲

۱ و ۲- استادیار، دانشکده برق و کامپیوتر، دانشگاه بیرجند

(دریافت: ۹۵/۱۰/۲۰، پذیرش: ۹۶/۰۵/۰۱)

چکیده

در این مقاله، یک روش جدید به منظور سنکرون سازی آشوب با استفاده از کنترل غیرخطی ارائه شده است. در اکثر کنترل کننده‌های موجود فرض می‌شود مدل ریاضی سامانه‌های آشوبی فرستنده و گیرنده کاملاً یکسان هستند. با توجه به یکسان نبودن شرایط محیطی فرستنده و گیرنده و تاثیر درجه حرارت و سایر عوامل بر پارامترهای سامانه آشوبی از قبیل مقادیر مقاومت‌ها و سایر اجزا، یکسان در نظر گرفتن مدل‌های فرستنده و گیرنده معقول نیست. در این مقاله، روش جدیدی برای تخمین عدم قطعیت‌ها ارائه شده است که در آن عدم قطعیت‌ها با یک معادله دیفرانسیل خطی با ضرایب نامعلوم ثابت مدل سازی می‌شود. به عبارت دیگر، عدم قطعیت‌ها را می‌توان به صورت پاسخ این معادله دیفرانسیل نمایش داد. با توجه به این که این تابع (پاسخ معادله دیفرانسیل) شرایط قضیه تقریب عمومی را دارد، می‌توان هر تابع غیرخطی را با دقت دلخواه تخمین زد، اما با توجه به این که ضرایب معادله دیفرانسیل نامعلوم می‌باشند، پارامترهای این تابع نیز نامعلوم بوده و باید تخمین زده شوند. این کار با استفاده از قوانین تطبیق به دست آمده از تحلیل همگرایی خطای سنکرون سازی انجام می‌گردد. نتایج شبیه سازی بیانگر عملکرد مناسب تخمین گر ارائه شده بوده و در مقایسه با کنترل کننده فازی مد لغزشی، سرعت پاسخ کنترل کننده پیشنهادی بهتر می‌باشد. همچنین، کاربرد آن در مخابرات امن و رمزنگاری مورد بررسی قرار گرفته است.

واژه‌های کلیدی: سنکرون سازی آشوب، مخابرات امن، رمزنگاری، معادلات دیفرانسیل، قضیه تقریب عمومی

۱- مقدمه

با سیگنال کریر آشوبی جمع می‌شود [۴-۵]. در روش دوم، نه تنها سیگنال پیام با سیگنال کریر آشوبی جمع می‌شود بلکه حالت‌های سامانه آشوبی توسط سیگنال پیام از طریق یک روند معکوس پذیر مدوله می‌گردند به نحوی که سیگنال آشوبی تولید شده ذاتاً شامل اطلاعات سیگنال پیام است [۶-۷]. در روش سوم، نیازمند دو سامانه آشوبی برای تولید بیت‌های صفر و یک هستیم. سیگنال ارسالی توسط سوئیچ بین این دو سامانه آشوبی بر اساس این که صفر یا یک سیگنال پیام منتقل می‌گردد انتخاب می‌شود [۸-۹]. همه این سامانه‌های مخابراتی امن آشوبی که اشاره شد بر مبنای سنکرون سازی هستند. سنکرون سازی این سیگنال‌ها توسط کنترل کننده یا روی تگر^۱ موجود در گیرنده انجام می‌شود [۴].

سنکرون سازی سامانه‌های آشوبی به منظور طراحی سامانه‌های مخابراتی امن، یکی از محبوب ترین حوزه‌های تحقیقاتی محسوب می‌شود و روش‌های بسیار زیادی ابداع شده است. در [۱۰]، از روش‌های کنترل بهینه برای همزمان سازی سامانه‌های آشوب استفاده شده است. با توجه به این که الگوریتم‌های کنترل بهینه برای

مخابرات امن، کاربردهای نظامی بسیاری دارد و به همین دلیل در دهه‌های گذشته تحقیقات فراوانی پیرامون آن صورت گرفته است. منظور از مخابرات امن، ارسال امن اطلاعات بین فرستنده و گیرنده است، به طوری که سایر افراد به آن اطلاعات دسترسی نداشته باشند [۱]. با توجه به ویژگی‌های سامانه‌های آشوبی از جمله تصادفی بودن، غیرقابل تناوبی بودن، حساسیت به شرایط اولیه و غیرقابل پیش بینی بودن، این سامانه‌ها نقش مهمی در مخابرات امن و رمزنگاری ایفا می‌کنند [۲-۳]. ایده استفاده از سامانه‌های آشوبی برای مخابرات امن به این صورت است که دو سامانه فرستنده (درايو) و گیرنده (پاسخ) توسط یک سیگنال درايو مشترک با یکدیگر کوپل شده‌اند که در صورت سنکرون بودن سیگنال‌های آشوبی فرستنده و گیرنده، سیگنال پیام با دقت خوبی آشکار سازی خواهد شد. روش‌های مخابرات امن آشوبی را می‌توان به انواع ماسک زدن آشوبی، مدولاسیون آشوبی و سوئیچینگ آشوبی تقسیم بندی نمود. در روش اول، سیگنال پیام محرمانه فقط

و عدم نیاز به مدل ریاضی دقیق سامانه‌ها اشاره نمود.

اما باید توجه داشت سامانه‌های فازی و شبکه‌های عصبی در کنار مزایایی که دارند، طراحی تخمین‌گر را با چالش‌هایی نیز روبرو می‌کنند. گاهی اوقات طراحی یک کنترل‌کننده فازی خوب برای سامانه‌های پیچیده، نیازمند دانش افراد خبره می‌باشد تا بتوان قوانین فازی مناسبی سامانه تعریف کرد. علاوه بر این، سامانه‌های فازی و شبکه‌های عصبی پارامترهای تنظیم زیادی از قبیل تعداد قوانین فازی، نوع توابع تعلق، تعداد لایه‌های شبکه عصبی، نوع توابع فعال‌ساز شبکه عصبی، نرخ همگرایی پارامترهای آزاد، مرکز توابع تعلق فازی و ... دارند [۳۲]. تعیین مقدار مناسب این پارامترها به روش سعی و خطا انجام می‌شود که معمولاً وقت‌گیر است. ممکن است از الگوریتم‌های بهینه‌سازی مانند الگوریتم ژنتیک و پرندگان و غیره برای تعیین مقدار بهینه این پارامترها استفاده شود [۳۳]. اما در عمل، با اغتشاش خارجی مواجه هستیم که مقدار آن نامعلوم است و نمی‌تواند در بهینه‌سازی در نظر گرفته شود. البته برخی از این پارامترها را می‌توان با استفاده از قوانین تطبیق که از اثبات پایداری سامانه به دست می‌آیند، به طور خودکار تنظیم نمود، اما این ایده نیز پارامترهای دیگری از جمله ضریب همگرایی پارامترهای تطبیقی و همچنین مقدار اولیه آن‌ها را به مسئله اضافه می‌کند.

روش‌های تخمین توابع غیرخطی محدود به سامانه‌های فازی و شبکه‌های عصبی نیست. در سال‌های اخیر، کاربردهایی از سری فوریه و چندجمله‌ای‌های لژاندر^۱ به عنوان جایگزین سامانه‌های فازی و شبکه‌های عصبی در سامانه‌های کنترل ارائه شده است. این توابع نیز شرایط قضیه تقریب عمومی [۳۱] را برآورده می‌کنند و می‌توانند برای تخمین عدم قطعیت‌ها در سامانه‌های کنترل به کار گرفته شوند. مزیت سری فوریه و چندجمله‌ای‌های لژاندر نسبت به سامانه‌های فازی و شبکه‌های عصبی، کم‌تر بودن تعداد پارامترهای تنظیم آن‌ها می‌باشد. در سری فوریه، ضرایب سری و دوره تناوب اساسی آن پارامترهای تنظیم بوده و در چندجمله‌ای‌های لژاندر ضرایب چندجمله‌ای پارامترهای آزاد تخمین‌گر می‌باشند. مشابه پارامترهای سامانه‌های فازی و شبکه‌های عصبی، می‌توان برای ضرایب سری فوریه و ضرایب چندجمله‌ای‌های لژاندر قوانین تطبیق طراحی نمود [۳۴-۳۸].

در این مقاله، نوع دیگری از تخمین‌گرهای تطبیقی مبتنی بر تقریب توابع ارائه می‌شود. فرض کنید یک معادله دیفرانسیل خطی با ضرایب نامعلوم وجود دارد که عدم قطعیت مدل‌های فرستنده و گیرنده تقریباً با پاسخ آن برابر باشد [۳۹]. می‌توان نشان داد که

سامانه‌های خطی ارائه شده‌اند، سامانه‌های غیرخطی به فرم خطی نمایش داده شده‌اند. به عنوان نمونه‌ای از کنترل‌کننده‌های کلاسیک آشوب می‌توان به [۱۱] اشاره نمود که یک کنترل‌کننده PD برای سنکرون‌سازی سامانه آشوبی لور طراحی کرده است. در [۱۲] یک روش سیستماتیک برای سنکرون‌سازی دو سامانه آشوب لورنز براساس یک کنترل‌کننده مود لغزشی پیشنهاد شده است. به طور مشابه، در [۱۳] یک کنترل‌کننده مود لغزشی قوی برای تحقق بخشیدن سنکرون‌سازی بین سه زوج متفاوت سامانه‌های آشوب (لورنز-شن، لورنز، لین-لورنز) پیشنهاد شده است. سنکرون‌سازی مقاوم سامانه‌های آشوبی با استفاده از کنترل مود لغزشی در [۱۴] ارائه شده است. روش‌هایی برای مقابله با عدم قطعیت پارامتری و ساختاری در سنکرون‌سازی مقاوم با استفاده از کنترل مود لغزشی در [۱۵] پیشنهاد شده است.

راه‌برد دیگر در سنکرون‌سازی سامانه‌های آشوبی، طراحی رویتگر حالت می‌باشد. چنانچه حالت‌های رویتگر با حالت‌های فرستنده سنکرون شود، می‌توان سیگنال پیام را با استفاده از رمزگشا در گیرنده به دست آورد. مزیت این راه‌برد نسبت به راه‌برد طراحی کنترلر آن است که فقط یکی از حالت‌های سامانه فرستنده باید ارسال شود. سایر حالت‌ها در گیرنده توسط رویتگر حالت تخمین زده می‌شوند. رویتگرهای بسیاری در این زمینه ارائه شده است [۲۲-۱۶]. از جمله در [۱۶] یک رویتگر تطبیقی با استفاده از شبکه‌های عصبی طراحی شده است و سپس یک کنترل‌کننده مود لغزشی برای سنکرون‌سازی سامانه‌های آشوبی طراحی گردیده است. در [۱۸] فرض شده است سامانه‌های آشوبی فرستنده و گیرنده دو سامانه کاملاً مختلف هستند و سنکرون‌سازی آن‌ها با استفاده از طراحی رویتگر انجام شده است. در [۱۹] رویتگر غیرخطی با کاهش مرتبه طراحی شده است.

از سامانه‌های فازی و شبکه‌های عصبی به عنوان الگوریتم‌های هوشمند در سنکرون‌سازی سامانه‌های آشوبی بسیار استفاده شده است [۲۳-۲۶]. دو ویژگی مهم سامانه‌های عصبی-فازی که منجر به استفاده گسترده از آن‌ها در طراحی کنترل‌کننده شده است، عبارتند از: ویژگی تقریب عمومی و خطی بودن نسبت به پارامترها [۲۷]. سامانه‌های فازی با توابع تعلق گوسی و برخی شبکه‌های عصبی مانند MLP و RBFN شرایط قضیه تقریب عمومی را برآورده می‌کنند و می‌توانند برای تخمین توابع غیرخطی با دقت دلخواه به کار گرفته شوند [۲۸-۳۱]. همچنین، خروجی این سامانه‌ها نسبت به برخی از پارامترها خطی است که منجر به ساده‌تر شدن اثبات پایداری سامانه می‌شود. از دیگر نقاط قوت شبکه‌های عصبی و سامانه‌های فازی می‌توان به قابلیت یادگیری سریع، پردازش موازی

¹ Legendre

$$\dot{Y} = (A + \Delta A)Y + f(Y) + Bu$$

$$\Delta A = \begin{bmatrix} -(a_2 - a_1) & (a_2 - a_1) & 0 \\ b_2 - b_1 - a_2 & b_2 + 1 & 0 \\ 0 & 0 & -(c_2 - c_1) \end{bmatrix}, \quad (4)$$

$$u = \begin{bmatrix} u_1 \\ u_2 \\ u_3 \end{bmatrix}, f(Y) = \begin{bmatrix} 0 \\ -y_1 y_3 \\ y_1 y_2 \end{bmatrix}, B = I_3,$$

خطای سنکرون سازی به صورت $E = Y - X$ تعریف می شود. در این صورت، خواهیم داشت:

$$\dot{E} = AE + (\Delta A)Y + f(Y) - f(X) + Bu \quad (5)$$

۳- معادلات دیفرانسیل و قضیه تقریب عمومی

فرض کنید می خواهیم تابع نامعلوم $\delta(t)$ را تخمین بزنیم. معادله دیفرانسیل خطی زیر را در نظر بگیرید:

$$\delta^{(p)} - \sum_{j=1}^p b_j \delta^{(p-j)} = 0 \quad (6)$$

که در آن، p مرتبه معادله دیفرانسیل و b_j ضریب آن می باشد. به عبارت دیگر، فرض کرده ایم که یک معادله دیفرانسیل به فرم (۶) وجود دارد که $\delta(t)$ پاسخ آن است. با توجه با این که $\delta(t)$ را نامعلوم فرض کرده ایم، ضرایب b_j نیز نامعلوم هستند. می دانیم پاسخ این معادله را می توان به صورت زیر نوشت:

$$\delta(t) = \sum_{i=1}^p c_i e^{\lambda_i t} \cos(\omega_i t + \theta_i) \quad (7)$$

که در آن، ضرایب نامعلوم c_i ، λ_i ، ω_i و θ_i به مقادیر b_j و ریشه های معادله مشخصه بستگی دارد. می توان نشان داد که این پاسخ شرایط قضیه استون- وایرشراس^۱ را برآورده میکند و می تواند به عنوان تخمین گر توابع غیرخطی استفاده شود.

قضیه استون- وایرشراس [۲۹]

فرض کنید Ω مجموعه توابع پیوسته روی مجموعه محدب T باشد. اگر:

۱- مجموعه Ω نسبت به ضرب اسکالر، جمع و ضرب بسته باشد.

۲- مجموعه Ω نقاط T را جدا کند، یعنی

$$\forall t_1, t_2 \in T, t_1 \neq t_2, \exists \delta(t) \in \Omega: \delta(t_1) \neq \delta(t_2) \quad (8)$$

۳- در مجموعه Ω در هیچ نقطه ای از T محو نشود، یعنی

$$\forall t \in T, \exists \delta(t) \in \Omega: \delta(t) \neq 0 \quad (9)$$

این پاسخ، ویژگی های مطرح شده در قضیه تقریب عمومی را دارد. بنابراین، عدم قطعیت با پاسخ معادله دیفرانسیل مدل سازی شده و تخمین زده می شود. کنترل کننده از این تخمین برای بهبود خطای سنکرون سازی استفاده می کند. همچنین، برای جبران خطای مدل سازی معادلات دیفرانسیل، از الگوریتم های کنترل مقاوم، استفاده می شود.

ساختار مقاله پیش رو بدین صورت می باشد. در بخش ۲ ساختار سامانه های آشوبی فرستنده و گیرنده معرفی می گردد. تخمین گر پیشنهادی و قضیه تقریب عمومی در بخش ۳ ارائه می شود. در بخش ۴، به طراحی کنترل کننده پرداخته و معادلات آن بیان می شود. اثبات سنکرون سازی به کمک تئوری پایداری لیاپانوف در بخش ۵، انجام می شود. در بخش ۶، سامانه مخابراتی توضیح داده شده و کاربرد آن در مخابرات امن و رمزنگاری به همراه نتایج شبیه سازی ارائه می شود. در بخش پایانی نتیجه گیری بیان خواهد شد.

۲- سامانه های آشوبی فرستنده و گیرنده

فرض کنید سامانه آشوبی فرستنده، یک اسیلاتور لورنز به صورت زیر باشد:

$$\begin{aligned} \dot{x}_1 &= a_1(x_2 - x_1) \\ \dot{x}_2 &= b_1 x_1 - x_1 x_3 - x_2 \end{aligned} \quad (1)$$

$$\dot{x}_3 = x_1 x_2 - c_1 x_3$$

همچنین فرض کنید سامانه آشوبی گیرنده، یک مدار آشوبی

چن [۴۰] به صورت زیر باشد:

$$\begin{aligned} \dot{y}_1 &= a_2(y_2 - y_1) + u_1 \\ \dot{y}_2 &= (b_2 - a_2)y_1 - y_1 y_3 + b_2 y_2 + u_2 \\ \dot{y}_3 &= y_1 y_2 - c_2 y_3 + u_3 \end{aligned} \quad (2)$$

که در آن، u_1 ، u_2 و u_3 سیگنال های کنترل هستند.

پارامترهای سامانه لورنز به صورت $a_1 = 10$ ، $b_1 = 28$ و $c_1 = 8/3$ و پارامترهای سامانه چن به صورت $a_2 = 35$ ، $b_2 = 28$ و $c_2 = 3$ تنظیم شده اند. بردار حالت فرستنده به صورت $X = [x_1 \ x_2 \ x_3]^T$ و بردار حالت گیرنده به صورت $Y = [y_1 \ y_2 \ y_3]^T$ تعریف می شود. بنابراین، (۱) به صورت زیر در می آید:

$$\dot{X} = AX + f(X)$$

$$A = \begin{bmatrix} -a_1 & a_1 & 0 \\ b_1 & -1 & 0 \\ 0 & 0 & -c_1 \end{bmatrix}, f(X) = \begin{bmatrix} 0 \\ -x_1 x_3 \\ x_1 x_2 \end{bmatrix} \quad (3)$$

بردار حالت گیرنده به صورت $Y = [y_1 \ y_2 \ y_3]^T$ تعریف

می شود. بنابراین، (۲) به صورت زیر در می آید:

که در آن، $F(t) = f(Y) - f(X) + (\Delta A)Y$ عدم قطعیت مجتمع می‌باشد. فرض کنید $F(t)$ توسط تخمین‌گر معرفی شده به صورت زیر تقریب زده شود:

$$F(t) = \varphi C^* + \Delta(t) \quad (۱۵)$$

که در آن، C^* مقدار بهینه کران‌دار برای \hat{C} بوده که منجر به خطای تقریب مینیمم (خطای مدل‌سازی) $\Delta(t)$ می‌شود. در واقع عبارت u_r در معادله (۱۷) برای جبران‌سازی خطای مدل‌سازی $\Delta(t)$ اضافه شده است. فرض می‌شود کران بالای $\Delta(t)$ به صورت $\|\Delta(t)\| \leq \rho$ باشد که ρ مقدار ثابت معلوم می‌باشد. با توجه به معادلات (۱۲) و (۱۵) و با استفاده از تعریف $A_c = A - Bk$ معادله (۱۴) به صورت زیر بازنویسی می‌شود:

$$\dot{E} = A_c E + B(\varphi \tilde{C} - u_r + \Delta(t)) \quad (۱۶)$$

که در آن، $\tilde{C} = C^* - \hat{C}$ می‌باشد. با توجه به این‌که C^* ثابت است، خواهیم داشت: $\dot{\tilde{C}} = -\dot{\hat{C}}$

۵- اثبات سنکرون‌سازی روش پیشنهادی

برای این‌که نشان دهیم سنکرون‌ساز پیشنهادی قادر است خطای سنکرون‌سازی را به صفر برساند، تابع لیاپانوف را به صورت زیر در نظر بگیریم:

$$V = \frac{1}{2} E^T P E + \frac{1}{2\gamma} \tilde{C}^T \tilde{C} \quad (۱۷)$$

که در آن، P یک ماتریس مثبت معین متقارن است که در معادله زیر صدق می‌کند [۴۱]:

$$A_c^T P + P A_c = -Q \quad (۱۸)$$

که در آن، Q یک ماتریس مثبت معین است که توسط طراح تعیین می‌شود و γ یک ثابت مثبت است. انتخاب تابع لیاپانوف با توجه به هدف مسئله انجام می‌شود. در این‌جا هدف آن است که خطای سنکرون‌سازی صفر شود و ضرایب \hat{C} به سمت ضرایب واقعی C^* همگرا شوند. به عبارت دیگر، هدف آن است که بردارهای E و \tilde{C} به صفر همگرا شوند. طبق قضیه پایداری لیاپانوف برای سامانه‌های غیرخطی، باید یک تابع مثبت معین مانند V از بردارهای E و \tilde{C} در نظر بگیریم. این تابع باید به گونه‌ای باشد که تنها در مبدا صفر باشد. یعنی تنها اگر E و \tilde{C} صفر باشند مقدار آن تابع نیز صفر شود. اگر بتوانیم نشان دهیم مشتق زمانی این تابع

آن‌گاه به‌ازای هر تابع حقیقی پیوسته $\delta(t)$ روی T و $\varepsilon > 0$ وجود دارد تابعی مانند f در Ω به طوری که:

$$\sup_{t \in T} |f(t) - \delta(t)| < \varepsilon \quad (۱۰)$$

در نامساوی فوق، $\varepsilon > 0$ یک عدد دلخواه کوچک است که بیان‌گر خطای تقریب است. میتوان نشان داد توابعی به فرم
$$\sum_{i=1}^p c_i e^{\lambda_i t} \cos(\omega_i t + \theta_i)$$
 شرایط فوق را برآورده می‌کنند [۳۹].

۴- کنترل‌کننده پیشنهادی

قانون کنترل زیر را در نظر بگیرید:

$$u = -k^T E - \hat{F} - u_r \quad (۱۱)$$

که در آن، k ماتریس بهره‌های کنترلی است که به روش جایابی قطب تعیین می‌شود به طوری که قطب‌های $A_c = A - Bk$ در محل‌های مطلوب قرار گیرند. همچنین \hat{F} بیانگر تخمین بردار عدم قطعیت $F(t) = (\Delta A)Y + f(Y) - f(X)$ که در (۵) ظاهر شده است.

در قانون کنترل فوق، u_r برای جبران خطای مدل‌سازی عدم قطعیت با معادله دیفرانسیل در نظر گرفته شده است. برای سادگی فرض کنید معادله دیفرانسیل در نظر گرفته شده برای تخمین $F(t)$ از مرتبه $p = 2$ باشد. بنابراین، تابع \hat{F} به فرم زیر می‌باشد:

$$\hat{F} = \varphi \hat{C} \quad (۱۲)$$

به طوری که:

$$\varphi = \begin{bmatrix} \varphi_1 & 0 & 0 \\ 0 & \varphi_2 & 0 \\ 0 & 0 & \varphi_3 \end{bmatrix}$$

$$\varphi_i = \left[e^{-\lambda_{1i} t} \cos(\omega t + \theta_{1i}) \quad e^{-\lambda_{2i} t} \cos(\omega t + \theta_{2i}) \right]^T \quad (۱۳)$$

$$\hat{C} = \begin{bmatrix} \hat{C}_1^T & \hat{C}_2^T & \hat{C}_3^T \end{bmatrix}^T$$

$$\hat{C}_i = \begin{bmatrix} \hat{c}_{1i} & \hat{c}_{2i} \end{bmatrix}$$

که در روابط فوق، $i = 1, 2, 3$ می‌باشد. ضرایب \hat{C}_i نامعلوم بوده و توسط قانون تطبیق که در بخش بعد تخمین زده می‌شود. با جایگذاری قانون کنترل (۱۱) در معادله (۵) سامانه حلقه بسته زیر به دست می‌آید:

$$\dot{E} = AE + B(-kE - \hat{F} - u_r) + F(t) \quad (۱۴)$$

تابع می تواند نامساوی (۲۵) را محقق کند. با جایگذاری (۲۶) در (۲۵) خواهیم داشت:

$$E^T P \Delta(t) - E^T P \rho \text{sign}(E^T P) \leq 0 \quad (۲۷)$$

می دانیم $E^T P \rho \text{sign}(E^T P) = \rho \|E^T P\|$ بنابراین، خواهیم داشت:

$$E^T P \Delta(t) - \rho \|E^T P\| \leq 0 \quad (۲۸)$$

به عبارت دیگر، باید نشان دهیم $E^T P \Delta(t) \leq \rho \|E^T P\|$. اگر بتوانیم نشان دهیم $\|E^T P \Delta(t)\| \leq \rho \|E^T P\|$ آن گاه مطمئناً نامساوی (۲۸) نیز برقرار خواهد بود. بنابراین، باید نشان دهیم نامساوی زیر صادق است:

$$\|E^T P\| \|\Delta(t)\| - \rho \|E^T P\| \leq 0 \quad (۲۹)$$

به عبارت دیگر، باید داشته باشیم

$$\|E^T P\| (\|\Delta(t)\| - \rho) \leq 0 \quad (۳۰)$$

با توجه به فرض $\|\Delta(t)\| \leq \rho$ نامساوی فوق همواره برقرار خواهد بود و \dot{V} منفی خواهد شد. در نتیجه، E ، \tilde{C} و \hat{C} کران دار خواهند بود. بنابراین، می توان نتیجه گرفت که \dot{E} در (۱۶) و قانون کنترل (۱۱) کران دار است. همچنین، منفی بودن \dot{V} بیانگر آن است که:

$$V(\tilde{\theta}(t), E(t)) \leq V(\tilde{\theta}(0), E(0)) \quad (۳۱)$$

برای اثبات صفر شدن خطای سنکرون سازی از لم باربالات استفاده می شود.

لم باربالات [۴۱]: اگر حد تابع $f(t)$ در $t \rightarrow \infty$ محدود باشد و $\dot{f}(t)$ پیوسته یکنواخت باشد ($\dot{f}(t)$ کران دار باشد)، آن گاه در $t \rightarrow \infty$ خواهیم داشت: $\dot{f}(t) \rightarrow 0$

برای استفاده از لم باربالات، تابع زیر را تعریف می کنیم:

$$\Omega(t) = 0.5 E^T Q E \quad (۳۲)$$

روشن است که

$$\Omega(t) \leq -\dot{V} \quad (۳۳)$$

اگر از طرفین (۳۳) انتگرال بگیریم خواهیم داشت:

$$\int_0^t \Omega(\tau) d\tau \leq V(\tilde{C}(0), E(0)) - V(\tilde{C}(t), E(t)) \quad (۳۴)$$

با توجه به این که $V(\tilde{C}(0), E(0))$ کران دار است و

منفی است آن گاه می توان نتیجه گرفت با گذشت زمان تابع V کاهش می یابد و چون مثبت است به صفر خواهد رسید. به عبارت دیگر، E و \tilde{C} صفر خواهند شد. مشتق تابع لیاپانوف نسبت به زمان برابر است با:

$$\dot{V} = \frac{1}{2} (\dot{E}^T P E + E^T P \dot{E}) - \frac{1}{\gamma} \tilde{C}^T \dot{\tilde{C}} \quad (۱۹)$$

با جایگذاری \dot{E} از (۱۶) در (۱۹) خواهیم داشت:

$$\begin{aligned} \dot{V} = & \frac{1}{2} (E^T A_c^T + \tilde{C}^T \phi^T - u_r^T + \Delta^T) P E \\ & + \frac{1}{2} E^T P (A_c E + \phi \tilde{C} - u_r + \Delta) - \frac{1}{\gamma} \tilde{C}^T \dot{\tilde{C}} \end{aligned} \quad (۲۰)$$

با توجه به این که V و \dot{V} اسکالر هستند و ماتریس P متقارن است، می توان گفت:

$$\begin{aligned} \tilde{C}^T \phi^T P E &= E^T P \phi \tilde{C} \\ (\Delta^T - u_r^T) P E &= E^T P (\Delta - u_r) \end{aligned}$$

بنابراین، (۲۰) به صورت زیر ساده می شود:

$$\begin{aligned} \dot{V} = & \frac{1}{2} E^T (A_c^T P + P A_c) E + \tilde{C}^T \phi^T P E \\ & + E^T P (\Delta - u_r) - \frac{1}{\gamma} \tilde{C}^T \dot{\tilde{C}} \end{aligned} \quad (۲۱)$$

با استفاده از (۱۸) خواهیم داشت:

$$\begin{aligned} \dot{V} = & -\frac{1}{2} E^T Q E + \tilde{C}^T \phi^T P E \\ & + E^T P (\Delta - u_r) - \frac{1}{\gamma} \tilde{C}^T \dot{\tilde{C}} \end{aligned} \quad (۲۲)$$

فرض کنید:

$$\dot{\tilde{C}} = \gamma \phi^T P E \quad (۲۳)$$

بنابراین، (۲۲) می تواند به صورت زیر بازنویسی شود:

$$\dot{V} = -\frac{1}{2} E^T Q E + E^T P (\Delta - u_r) \quad (۲۴)$$

اگر u_r را طوری انتخاب کنیم که

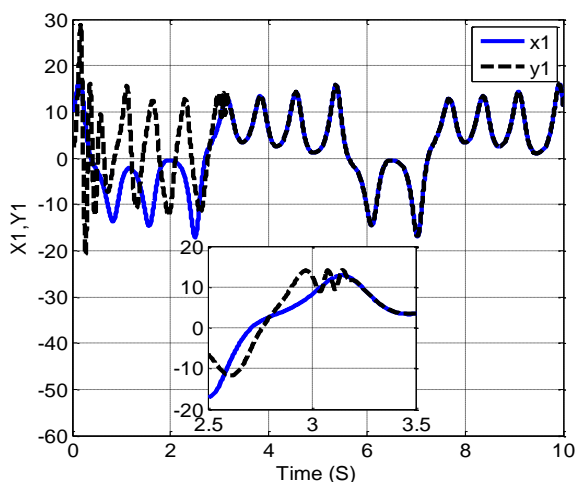
$$E^T P (\Delta(t) - u_r) \leq 0 \quad (۲۵)$$

شرط $\dot{V} \leq 0$ محقق خواهد شد. حال فرض کنید:

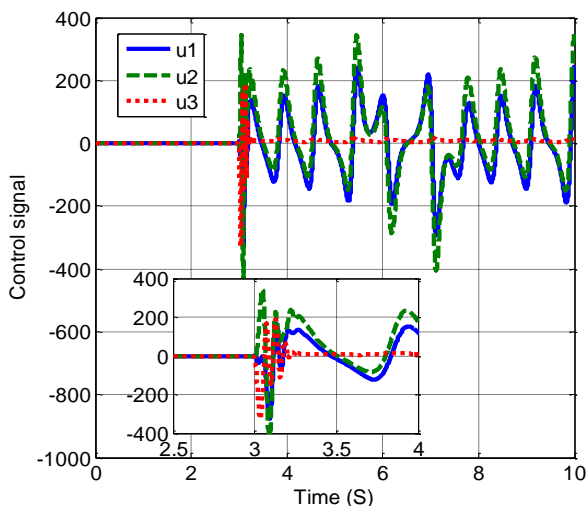
$$u_r = \rho \text{sign}(E^T P) \quad (۲۶)$$

که در آن، $\text{sign}(\cdot)$ تابع علامت می باشد. نشان می دهیم این

عملکرد سنکرون سازی روش پیشنهادی در همزمان نمودن اولین متغیر حالت در شکل (۱) نشان داده شده است. تا قبل از اعمال کنترل کننده ($t = 3S$)، سیگنال‌ها همزمان نیستند. اما بعد از اعمال سیگنال کنترل، متغیرهای حالت به سرعت همزمان می‌شوند. سیگنال‌های کنترل در شکل (۲) رسم شده‌اند. عملکرد تخمین‌گر پیشنهادی در تخمین عدم قطعیت در شکل (۳) نشان داده شده است.



شکل (۱): عملکرد روش پیشنهادی در سنکرون کردن اولین متغیر حالت



شکل (۲): سیگنال‌های کنترل

عملکرد تخمین‌گر پیشنهادی در تخمین عدم قطعیت در شکل (۳) نشان داده شده است. بردار عدم قطعیت F ، سه المان دارد که مقدار واقعی و تخمینی آن دومین عنصر آن در شکل (۳) رسم شده است. همان‌طور که در این شکل مشاهده می‌شود، پس از اعمال کنترل کننده پیشنهادی، تخمین‌گر پس از گذشتن فقط 0.2 sec ، قادر به تخمین صحیح عدم قطعیت می‌باشد.

$V(\bar{C}(t), E(t))$ کاهش می‌یابد و کران‌دار است، نتیجه زیر به دست می‌آید:

$$\lim_{t \rightarrow \infty} \int_0^t \Omega(\tau) d\tau \leq \infty \quad (35)$$

با توجه به این که \dot{E} کران‌دار است می‌توان گفت $\dot{\Omega}(t) = \dot{E}^T Q E$ نیز کران‌دار است. اکنون، تابع $f(t)$ در لم باربالات را به صورت زیر در نظر بگیرید:

$$f(t) = \int_0^t \Omega(\tau) d\tau \quad (36)$$

با توجه به (۳۵) روشن است که حد $f(t)$ در بی‌نهایت کران‌دار است. همچنین، روشن است که:

$$\dot{f}(t) = \dot{\Omega}(t) = \dot{E}^T Q E \quad (37)$$

نیز کران‌دار است. زیرا نشان دادیم \dot{E} و E کران‌دارند. بنابراین، شرایط لم باربالات برقرار است که نشان می‌دهد در $t \rightarrow \infty$ خواهیم داشت: $\dot{f}(t) = \Omega(t) \rightarrow 0$. با توجه به تعریف $\Omega(t)$ در (۳۲)، می‌توان نتیجه گرفت با گذشت زمان، خطای سنکرون سازی به صفر همگرا می‌شود.

۶- نتایج شبیه سازی

در این بخش روش پیشنهادی شبیه سازی گردیده و با کنترل کننده مود لغزشی مقایسه خواهد شد. همچنین، کاربرد روش پیشنهادی در مخابرات امن و رمزنگاری مورد بررسی قرار می‌گیرد.

۶-۱- شبیه سازی روش پیشنهادی

سامانه‌های آشوبی فرستنده و گیرنده را مطابق (۱) و (۲) در نظر بگیرید. مقادیر انتخابی برای ماتریس‌ها به نحوی است که سامانه‌های فوق شرایط آشوب را خواهند داشت [۴۲]. فرض کنید شرایط اولیه به صورت $X(0) = [10 \ 10 \ 10]^T$ و $Y(0) = [2 \ 2 \ 2]^T$ باشند [۴۲]. همچنین، فرض کنید خواهیم با انتخاب k مقادیر ویژه سامانه حلقه بسته را در $[-64 \ -62 \ -40]$ قرار دهیم. با اجرای دستور:

$$k = \text{place}(A, B, [-64 \ -62 \ -40]) \quad (38)$$

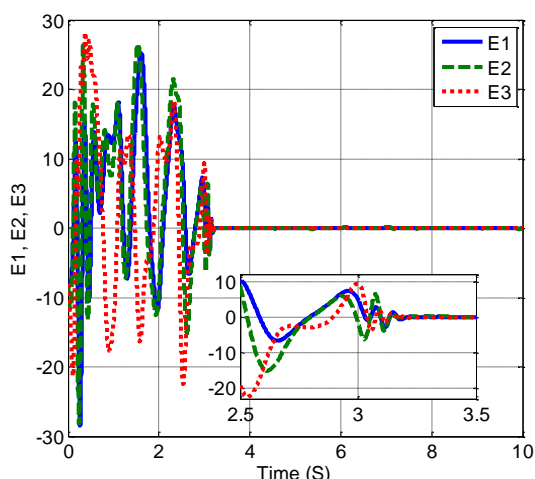
در Matlab خواهیم داشت:

$$k = \begin{bmatrix} 54 & 10 & 0 \\ 28 & 61 & 0 \\ 0 & 0 & 37.33 \end{bmatrix} \quad (39)$$

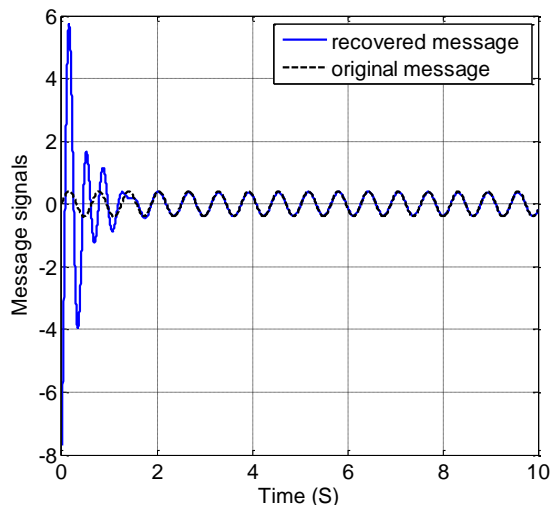
اگر مقادیر ویژه به مبدا نزدیکتر شوند، عناصر ماتریس فوق کوچکتر می‌شوند که موجب افزایش خطا می‌شود.

فازی [۴۲] مقایسه می‌کنیم. تمام پارامترهای سامانه‌های آشوبی و شرایط اولیه آن‌ها با مقادیر ارائه شده در [۴۲] برابر می‌باشند. شکل (۷) در [۴۲] خطای سنکرون سازی این روش را نشان می‌دهد.

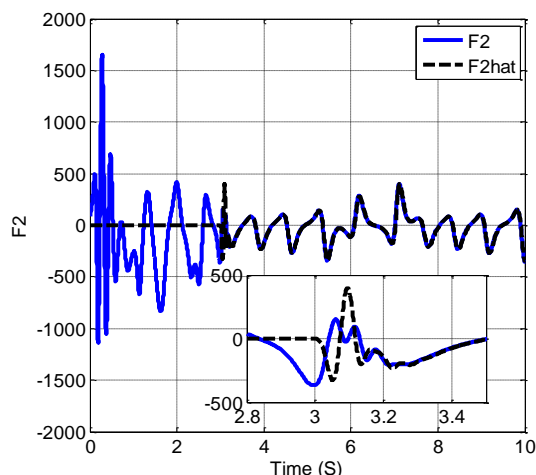
همان‌طور که در شکل (۷) مرجع [۴۲] مشاهده می‌شود، بعد از آن‌که کنترل‌کننده اعمال می‌شود، تقریباً ۳ sec طول خواهد کشید تا خطای سنکرون سازی صفر شود، اما همان‌طور که در شکل (۵) مشاهده می‌شود، این زمان برای کنترل‌کننده پیشنهادی فقط ۰/۲ sec است که بیان‌گر مناسب‌تر بودن سرعت پاسخ کنترل‌کننده پیشنهادی است. علاوه بر این، باید توجه داشت کنترل‌کننده‌های فازی معمولاً به دانش افراد خبره برای تعیین قوانین فازی نیاز دارند [۴۳]، درحالی‌که تنظیم پارامترهای کنترل‌کننده پیشنهادی بسیار ساده‌تر است. شکل (۶)، نتایج شبیه‌سازی این رویکرد را نشان می‌دهد که در آن سیگنال‌های پیام اصلی و بازسازی شده ترسیم شده‌اند.



شکل (۵): خطای سنکرون سازی روش پیشنهادی



شکل (۶): بازیابی سیگنال پیام با استفاده از رویکرد پیشنهادی

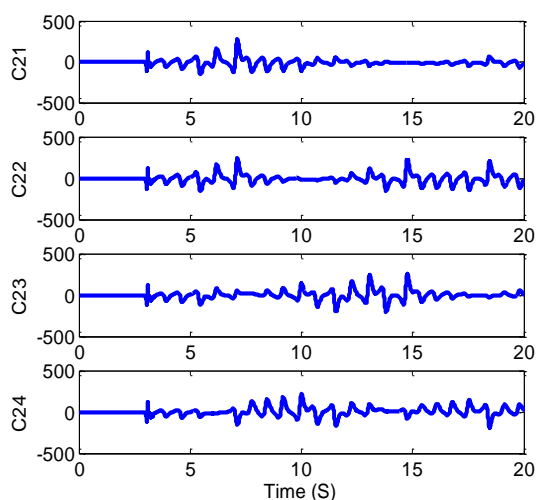


شکل (۳): عملکرد روش پیشنهادی در تقریب دومین درایه عدم قطعیت

مقدار اولیه بردار \hat{C} صفر بوده است. همچنین فرض شده است کران بالای خطای مدل سازی عدم قطعیت، $\rho=1$ باشد. فرض کنید برای تخمین هر درایه بردار عدم قطعیت F از یک معادله دیفرانسیل مرتبه ۴ استفاده شود. مقادیر پارامترهای انتخاب شده برای تخمین‌گر به صورت زیر است:

$$\begin{aligned} \lambda &= [0 \quad -0.001 \quad -0.002 \quad -0.003] \\ \omega &= [0.1 \quad 0.2 \quad 0.3 \quad 0.4] \\ \theta &= [0.4 \quad 0.1 \quad 0.2 \quad 0.3] \end{aligned} \quad (40)$$

تغییراتی که قانون تطبیق به پارامترهای \hat{C}_2 اعمال می‌کند در شکل (۴) نشان داده شده است. همان‌طور که مشاهده می‌شود این پارامترها کران‌دار می‌باشند.



شکل (۴): چگونگی تغییرات درایه‌های بردار \hat{C}_2

۲-۶- مقایسه با کنترل‌کننده مود لغزشی فازی
عملکرد کنترل‌کننده پیشنهادی را با یک کنترل‌کننده مود لغزشی

که در آن، $A_c = A - BK$ ، مشابه (۱۳-۱۲) می توان نوشت:

$$\hat{f} = \varphi \hat{c}$$

$$\varphi = \begin{bmatrix} e^{-\lambda_1 t} \cos(\omega t + \theta_1) & e^{-\lambda_2 t} \cos(\omega t + \theta_2) \end{bmatrix} \quad (45)$$

$$\hat{c} = [\hat{c}_1 \quad \hat{c}_2]^T$$

همچنین، مشابه (۱۵) می توان نوشت:

$$d(t) = \varphi \hat{c} + \Delta(t) \quad (46)$$

با جایگذاری (۴۶-۴۵) در (۴۴) خواهیم داشت:

$$\dot{e} = A_c e + B(\varphi \hat{c} + \Delta - u_r) \quad (47)$$

که مشابه (۱۶) می باشد. بنابراین، مانند آنچه در بخش ۵

تشریح شده است، سنکرون سازی روی تگر (۴۳) اثبات خواهد شد.

حال فرض کنید می خواهیم سیگنال پیام $m(t) = 0.4 \sin(10t)$

را ارسال و دریافت کنیم. در این شبیه سازی فرض شده است $d(t) = 0.001 \cos(t)$ باشد. بردار K را به صورت زیر تعریف کنید:

$$K = [-616.87 \quad -2237.9 \quad 116.1 \quad -10.7] \quad (48)$$

سیگنال پیام بازسازی شده عبارت است از [۴۴]:

$$\hat{m}(t) = z(t) - \hat{z}(t) \quad (49)$$

$$\hat{z}(t) = 30(\hat{x}_4 - 1)H(\hat{x}_4 - 1) + \hat{y}(t)$$

۴-۶- کاربرد روش پیشنهادی در رمزنگاری

معمولاً، یکی از متغیرهای حالت (x_2) برای رمزنگاری پیام مورد استفاده قرار می گیرد. سپس پیام رمز شده ($En(t)$) با خروجی سامانه آشوب ($y(t)$) جمع شده و به گیرنده ارسال می شود. این فرستنده، یک روی تگر حالت (تخمین گر) طراحی می شود. این تخمین گر با دریافت سیگنال ارسال شده ($z(t)$)، سایر متغیرهای حالت خود را با متغیرهای حالت فرستنده سنکرون می کند [۴۶-۴۵]. در نتیجه، می توان یک تخمین مناسب از پیام رمز شده ($\hat{En}(t)$) به دست آورد. سپس، رمزگشا با استفاده از این سیگنال ($\hat{En}(t)$) و سیگنال تخمینی متغیر حالتی که برای رمزنگاری استفاده شده است (\hat{x}_2)، سیگنال پیام را بازسازی می کند. بلوک دیاگرام این سامانه در شکل (۷) رسم شده است. مدل ریاضی به صورت زیر است [۴۴]:

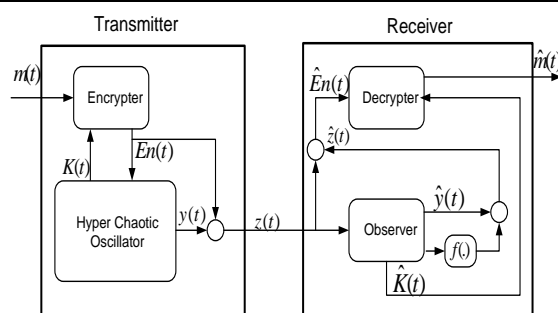
$$\dot{x} = Ax + B30(x_4 - 1)H(x_4 - 1) + Bd(t) + B.En(t) \quad (50)$$

برای رمزنگاری سیگنال پیام از رمزکننده شیفت دهنده n تایی

استفاده شده است [۴۷]:

$$En(t) = f_1(\dots(f_1(f_1(m(t), K(t)), K(t)), \dots, K(t))) \quad (51)$$

که در آن، تابع غیرخطی ($f_1(m(t), K(t))$) به صورت زیر تعریف



شکل (۷): بلوک دیاگرام سامانه مخابراتی با استفاده از روی تگر و رمزنگار [۴۴]

۳-۶- کاربرد روش پیشنهادی در مخابرات امن

اکنون نحوه عملکرد کنترل کننده فوق در مخابرات امن مورد ارزیابی قرار می گیرد. در مخابرات امن، ارسال مستقیم همه متغیرهای حالت به فرستنده مجاز نیست. معمولاً فقط خروجی سامانه آشوب ارسال می گردد. در فرستنده، یک روی تگر حالت (تخمین گر) طراحی می شود. این تخمین گر با دریافت سیگنال ارسال شده، سایر متغیرهای حالت خود را با متغیرهای حالت فرستنده سنکرون می کند. سامانه فوق آشوبی زیر را در نظر بگیرید [۴۴]:

$$\dot{x} = Ax + B30(x_4 - 1)H(x_4 - 1) + Bd(t) + Bm(t) \quad (41)$$

$$A = \begin{bmatrix} 0.7 & -1 & -1 & 0 \\ 1 & 0 & 0 & 0 \\ 3 & 0 & 0 & -3 \\ 0 & 0 & 3 & 0 \end{bmatrix}, B = \begin{bmatrix} 0 \\ 0 \\ 0 \\ -1 \end{bmatrix}$$

که در آن، $m(t)$ سیگنال پیام است و H تابع پله واحد است ($H(u) = 1$ if $(u \geq 0)$; $H(u) = 0$ if $(u < 0)$) و $d(t)$ تغییرات ناخواسته ای است که در مدل فرستنده رخ می دهد. خروجی به صورت زیر تعریف می شود:

$$y(t) = 30(x_4 - 1)H(x_4 - 1) + Kx \quad (42)$$

بردار سطر K طوری انتخاب می شود که مقادیر ویژه ماتریس $A - BK$ در موقعیت های دلخواه قرار گیرند. سیگنال ارسالی $z(t) = y(t) + m(t)$ خواهد بود. روی تگر زیر را در نظر بگیرید:

$$\dot{\hat{x}} = A\hat{x} + B(z - \hat{y}) + B(\hat{f} + u_r) \quad (43)$$

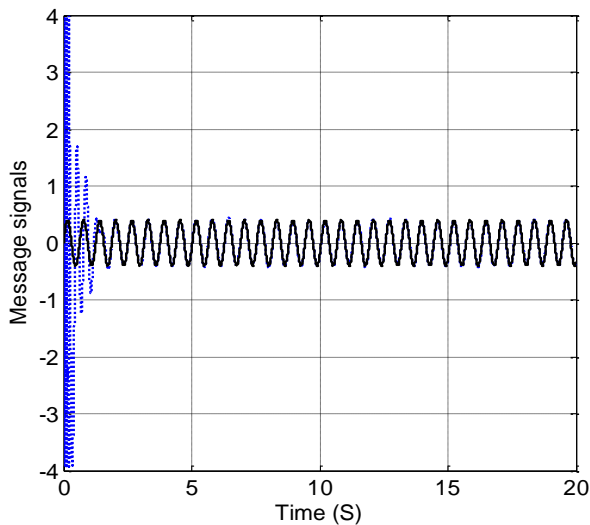
که در آن $\hat{y} = K\hat{x}$ و $\hat{f} + u_r$ تخمین گر عدم قطعیت است که در این مقاله با استفاده از معادلات دیفرانسیل طراحی شده است. بردار خطای روی تگر را به صورت $e = x - \hat{x}$ تعریف کنید. با استفاده از (۴۳-۴۱) خواهیم داشت:

$$\dot{e} = A_c e + B(d - \hat{f} - u_r) \quad (44)$$

شده است:

۷- نتیجه گیری

در این مقاله یک روش جدید سنکرون سازی سامانه های آشوبی بر مبنای قضیه تقریب عمومی و پاسخ معادلات دیفرانسیل ارائه گردید. برای این منظور، فرض شده است عدم قطعیت در یک معادله دیفرانسیل خطی با ضرایب ثابت نامعلوم صدق می کند. سپس نشان داده شد که پاسخ این معادله در شرایط قضیه عمومی صدق کرده و می تواند برای تخمین عدم قطعیت به کار گرفته شود. در کنترل کننده



شکل (۹): سیگنال پیام اصلی (خط پر) و سیگنال پیام بازسازی شده (نقطه چین)

پیشنهادی خطای مدل سازی نیز لحاظ شده است. برای تعیین پارامترهای تخمین گر پیشنهادی، با استفاده از قضیه پایداری لیاپانوف، قانون تطبیق طراحی گردید. همچنین، با استفاده از لم باربالات نشان داده شد که خطای سنکرون سازی به صفر همگرا میشود. در مقایسه با کنترلر مود لغزشی فازی، کنترل کننده پیشنهادی سرعت به مراتب بهتری داشته و همچنین، تخمین گر پیشنهادی به خوبی می تواند عدم قطعیت را تخمین بزند. علاوه بر این، صحت عملکرد روش پیشنهادی در بازیابی سیگنال پیام در مخابرات امن و رمزنگاری مورد بررسی قرار گرفت.

۸- تشکر و قدردانی

این تحقیق در قالب طرح پژوهشی به شماره ابلاغیه ۱۳۹۵/د/۱۷۷۶۶ مورخ ۱۳۹۵/۹/۲۳ و با استفاده از اعتبارات

$$f_1(m, K) = \begin{cases} m + K + 2h & -2h \leq m + K \leq -h \\ m + K & -h \leq m + K \leq h \\ m + K - 2h & h \leq m + K \leq 2h \end{cases} \quad (52)$$

در این شبیه سازی، $n=30$ و $h=0.4$ انتخاب شده است و کلید $K(t)$ همان $x_2(t)$ می باشد. خروجی سامانه آشوبی همان خروجی تعریف شده در (۴۲) است. سیگنال ارسالی زیر را در نظر بگیرید:

$$z(t) = y(t) + En(t) \quad (53)$$

معادله رویتگر، همان رابطه (۴۳) خواهد بود. بردار K را به صورت (۴۸) در نظر بگیرید. مقدار تخمینی سیگنال پیام رمز شده برابر است با:

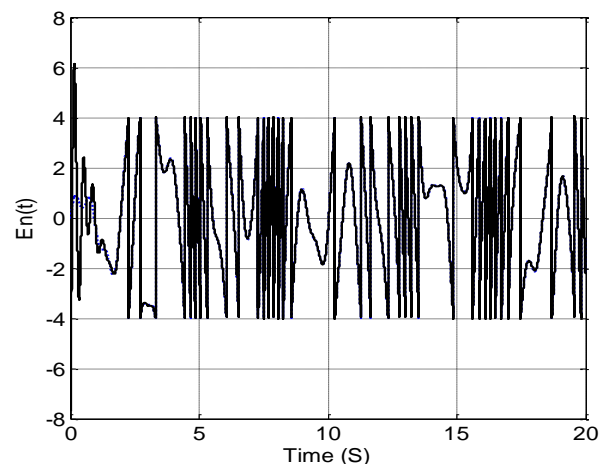
$$\hat{En}(t) = z(t) - \hat{z}(t) \quad (54)$$

$$\hat{z}(t) = 30(\hat{x}_4 - 1)H(\hat{x}_4 - 1) + \hat{y}(t)$$

حال با استفاده از $\hat{K}(t) = \hat{x}_2(t)$ و $\hat{En}(t)$ باید سیگنال پیام را به صورت زیر رمزگشایی کنیم:

$$\hat{m} = f_1(\dots(f_1(f_1(\hat{En}(t), -\hat{K}(t)), -\hat{K}(t)), \dots, -\hat{K}(t))) \quad (55)$$

سیگنال پیام رمز شده و مقدار تخمین زده شده آن در شکل (۸) رسم شده اند. همان طور که مشاهده می شود، رویتگر پیشنهادی عملکرد خوبی دارد و سیگنال پیام رمز شده را علی رغم تغییرات شدید آن می تواند به درستی تخمین بزند. سیگنال پیام اصلی و سیگنال پیام بازسازی شده در شکل (۹) رسم شده اند.



شکل (۸): پیام رمز شده $En(t)$ (خط پر) و مقدار تخمینی آن $\hat{En}(t)$ (نقطه چین)

- parameters mismatching." J. Zhejiang Univ.-Sci. A, vol. 6, pp. 571-576, 2005.
- [16] W. Jing, T. Zhen-Yu, M. Xi-Kui, and G. Jin-Feng, "A novel adaptive observer-based control scheme for synchronization and suppression of a class of uncertain chaotic systems," Chinese Physics Letters, vol. 26, no. 5, pp. 050503, 2009.
- [17] J. Yang, Y. Chen, and F. Zhu, "Associated observer-based synchronization for uncertain chaotic systems subject to channel noise and chaos-based secure communication," Neurocomputing, vol. 167, pp. 587-595, 2015.
- [18] P. Bagheri, M. Shahrokhi, and H. Salarieh, "Adaptive observer-based synchronization of two non-identical chaotic systems with unknown parameters," J. Vib. Control, vol. 23, pp. 389-399, 2017.
- [19] E. Cherrier, M. Boutayeb, and J. Ragot, "Observers-based synchronization and input recovery for a class of nonlinear chaotic models", IEEE Trans. Circ Syst – Part I, vol. 53, pp. 1977-1988, 2006.
- [20] M. Feki, "An adaptive chaos synchronization scheme applied to secure communication," Chaos, Solitons and Fractals, vol. 18, pp. 141-148, 2003.
- [21] J. Yang, Y. Chen, and F. Zhu, "Singular reduced-order observer-based synchronization for uncertain chaotic systems subject to channel disturbance and chaos-based secure communication," Appl. Math. Comput., vol. 229, pp. 227-238, 2014.
- [22] M. Chen, D. Zhou, and Y. Shang, "A sliding mode observer based secure communication scheme," Chaos Soliton Fract., vol. 25, pp. 573-578, 2005.
- [23] C. F. Hsu, "Adaptive fuzzy wavelet neural controller design for chaos synchronization," Exp. Syst. Appl., vol. 38, pp. 10475-10483, 2011.
- [24] C. S. Chen, "Quadratic optimal neural fuzzy control for synchronization of uncertain chaotic systems," Exp. Syst. Appl., vol. 36, pp. 11827-11835, 2009.
- [25] T. C. Lin, F. Y. Huang, Z. Du, and Y. C. Lin, "Synchronization of fuzzy modeling chaotic time delay memristor-based Chua's circuits with application to secure communication," International Journal of Fuzzy Systems, vol. 17, no. 2, pp. 206-214, 2015.
- [26] C. Mou, C. S. Jiang, J. Bin, and Q. X. Wu, "Sliding mode synchronization controller design with neural network for uncertain chaotic systems," Chaos Soliton Fract., vol. 39, pp. 1856-1863, 2009.
- [27] S. Khorashadizadeh and M. M. Fateh, "Uncertainty estimation in robust tracking control of robot manipulators using the Fourier series expansion," Robotica, vol. 35, no. 2, pp. 310-336, 2015.
- [28] L. X. Wang, "A Course in Fuzzy Systems and Control," Prentice-Hall, New York, 1997.
- [29] M. Gupta, L. Jin, and N. Homma, "Static and dynamic neural networks: from fundamentals to advanced theory," John Wiley & Sons, 2004.
- [30] M. M. Fateh, S. Azargoshasb, and S. Khorashadizadeh, "Model-free discrete control for robot manipulators using a fuzzy estimator," COMPEL: The International Journal for Computation and Mathematics in Electrical and Electronic Engineering, vol. 33, no. 3, pp. 1051-1067, 2014.
- پژوهشی دانشگاه بیرجند انجام شده است که بدین وسیله تشکر و قدردانی می‌شود.
- ### ۹- مراجع
- [1] L. Kocarev, G. Jakimoski, T. Stojanovski, and U. Parlitz, "From Chaotic Maps to Encryption Schemes." In Proceedings IEEE International Symposium Circuits and Systems, vol. 4, pp. 514-517, 1998.
- [2] B. Fathi Vajargah, R. Asghari, and J. Vahidi, "Design and Analysis of a Novel Synchronous Stream Cipher Using Secure Pseudo Random Number Generator." Journal of Electrical & Cyber Defence, vol. 4, no. 1, pp. 59-68, 2016 (in Persian).
- [3] A. Mirghadri, and A. Jolfaei, "A Novel Image Encryption Scheme Using Chaotic Maps." Passive Defence Sci. & Tech., vol. 2, no. 2, pp. 111-124, 2011 (in Persian).
- [4] L. M. Pecora and T. L. Carroll, "Synchronization in Chaotic Systems," Phys. Rev. Lett., vol. 64, pp. 821-824, 1990.
- [5] K. Y. Lian, P. Liu, and T.S. Chiang, "Adaptive Synchronization Design for Chaotic Systems via a Scalar Driving Signal." IEEE Trans. Circuits-I, vol. 49, pp. 17-27, 2002.
- [6] K. S. Halle, C. W. Wu, M. Itoh, and L. O. Chua, "Spread Spectrum Communication Through Modulation of Chaos", Int. J. Bifurcat Chaos, vol. 3, pp. 469-477, 1993.
- [7] T. L. Liao, and N. S. Huang, "An Observer-Based Approach for Chaotic Synchronization with Application to Secure Communication", IEEE Trans. Circuits-I, vol. 46, pp. 1144-1150, 1999.
- [8] G. Kolumban, M. P. Kennedy, and L. O. Chua, "The Role of Synchronization in Digital Communication Using Chaos—Part I: Fundamentals of Digital Communications.", IEEE Trans. Circuits-I, vol. 44, pp.927-936, 1997.
- [9] K. Murali, H. Yu, V. Varadan, and H. Leung, "Secure Communication Using a Chaos Based Signal Encryption Scheme." IEEE Trans. Consum Electr, vol. 47, pp. 709-714, 2001.
- [10] J. M. V. Grzybowski, M. Rafikov and J. M. Balthazar, "Synchronization of the unified chaotic system and application in secure communication", Commun. Nonlinear Sci. Numer. Simul. vol. 14, pp. 2793-2806, 2009.
- [11] C. Yin, S. M. Zhong, and W. F. Chen, "Design PD controller for master-slave synchronization of chaotic Lur'e systems with sector and slope restricted nonlinearities," Commun. Nonlinear Sci. Numer. Simul., vol. 16, pp. 1632-1639, 2011.
- [12] J. S. Lin, and J. J. Yan, "Adaptive synchronization for two identical generalized Lorenz chaotic systems via a single controller." Nonlinear Anal. Real World Appl., vol. 10, pp. 1151-1159, 2009.
- [13] M. Pourmahmood, S. Khanmohammadi, and G. Alizadeh, "Synchronization of two different uncertain chaotic systems with unknown parameters using a robust adaptive sliding mode controller." Commun. Nonlinear Sci. Numer. Simul. vol. 16, pp. 2853-2868, 2011.
- [14] L. Li, Y. Liu, and Q. J. Yao, "Robust synchronization of chaotic systems using sliding mode and feedback control," Zhejiang Univ. - Sci. C, vol. 15, pp. 211-222, 2014.
- [15] L. Xiao-run, Z. Liao-ying, and Z. Guang-zhou, "Sliding mode control for synchronization of chaotic systems with structure or

- [47] T. Yang, C. W. Wu, and O. Chua, "Cryptography based on chaotic systems," *IEEE Trans. Circuits-I*, vol. 44, no. 5, pp. 469-471, 1997.
- [31] M. M. Fateh, S. M. Ahmadi, and S. Khorashadizadeh, "Adaptive RBF network control for robot manipulators." *Journal of AI and Data Mining*, vol. 2, no. 2, pp. 159-166, 2014.
- [32] S. Khorashadizadeh and M. M. Fateh, "Robust task-space control of robot manipulators using Legendre polynomials for uncertainty estimation," *Nonlinear Dyn.*, vol. 79, no. 2, pp. 1151-1161, 2015.
- [33] M. M. Fateh and S. Khorashadizadeh, "Optimal Robust voltage control of electrically driven robots," *Nonlinear Dyn.*, vol. 70, no. 2, pp. 1445-1458, 2012.
- [34] A. C. Huang, S. C. Wu, and W. F. Ting, "A FAT-based adaptive controller for robot manipulators without regressor matrix: theory and experiments," *Robotica*, vol. 24, no. 2, pp. 205-210, 2006.
- [35] K. Chen-Yu and A. C. Huang, "A regressor-free adaptive controller for robot manipulators without Slotine and Li's modification," *Robotica*, vol. 31, no. 7, pp. 1051-1058, 2013.
- [36] C. Ming-Chih and A. C. Huang, "Adaptive impedance controller design for flexible-joint electrically-driven robots without computation of the regressor matrix," *Robotica*, vol. 30, no. 1, pp. 133-144, 2012.
- [37] M. B. Fard and S. Khorashadizadeh, "Model free robust impedance control of robot manipulators using fourier series expansion," In *AI & Robotics (IRANOPEEN)*, IEEE 2015, pp. 1-7, 2015.
- [38] S. Khorashadizadeh and M. M. Fateh, "Adaptive Fourier series-based control of electrically driven robot manipulators," *The 3rd International Conference on Control, Instrumentation and Automation (ICCIA)*, IEEE, pp. 213-218, 2013.
- [39] A. Izadbakhsh, and S. Khorashadizadeh, "Robust task-space control of robot manipulators using differential equations for uncertainty estimation," *Robotica*, vol. 35, no. 9, pp. 1923-1938, 2017.
- [40] J. Effa, B. Essimbi, and J. Ngundam, "Synchronization of improved chaotic Colpitts oscillators using nonlinear feedback control," *Nonlinear Dyn.*, vol. 58, no. 1, pp. 39-47, 2009.
- [41] J. J. Slotine and W. Li, "Applied nonlinear control," Englewood Cliffs, NJ: prentice-Hall, 1991.
- [42] C. L. Kuo, "Design of a fuzzy sliding-mode synchronization controller for two different chaos systems," *Computers and Mathematics with Applications*, vol. 61, pp. 2090-2095, 2011.
- [43] M. M. Fateh and S. Khorashadizadeh, "Robust control of electrically driven robots by adaptive fuzzy estimation of uncertainty," *Nonlinear Dynamics*, vol. 69, no. 3, pp. 1465-1477, 2012.
- [44] G. Grassi, and S. Mascolo, "Synchronizing Hyperchaotic Systems by Observer Design," *IEEE Trans. Circuits-II*, vol. 46, no. 4, pp. 478-483, 1999.
- [45] S. Khorashadizadeh and M. H. Majidi, "Chaos synchronization using the Fourier series expansion with application to secure communications," *AEU-INT J ELECTRON C*, vol. 82, pp. 37-44, 2017.
- [46] S. Khorashadizadeh and M. H. Majidi, "Synchronization of two different chaotic systems using Legendre polynomials with application to secure communications," *FRONT INFORM TECHEL*, 2018. [doi="10.1631/FITEE.1601814"]

Chaos Synchronization Using Differential Equations and the Universal Approximation Theorem with Application to Secure Communication and Cryptography

M. H. Majidi*, S. Khorashadizadeh

*University of Birjand

(Received: 20/10/2017, Accepted: 23/07/2017)

ABSTRACT

In this paper, a new method has been presented for chaos synchronization using a nonlinear controller. In most so-far presented approaches, it is assumed that the mathematical models of the transmitter and receiver are completely the same. Due to the non-identical environmental circumstances in the transmitter and receiver and the influence of temperature on the chaotic system parameters, this assumption is not true. In this paper, a novel approach, in which uncertainties are modeled by a linear differential equation with unknown constant coefficients, has been presented for estimation of these uncertainties. Since this function satisfies the conditions of the universal approximation theorem, it can estimate nonlinear functions with arbitrary small approximation error. However, since the coefficients are unknown, the parameters of these functions are unknown and should be estimated using the adaptation laws derived from the synchronization analysis. Simulation results verify the effectiveness of the proposed estimator. In comparison with other controllers such as fuzzy sliding mode controllers, the proposed controller response is faster. Moreover, its application in secure communications and cryptography has been studied, as well.

Keywords: Chaos Synchronization, Secure Communication, Cryptography, Differential Equations, The Universal Approximation Theorem.

* Corresponding Author Email: m.majidi@birjand.ac.ir